

文章编号: 1004-0609(2004)06-0912-05

# Al-Zn-Cu 系 200 °C 低铜侧的相平衡<sup>①</sup>

陈 辉, 信 昕, 任玉平, 郝士明, 李洪晓

(东北大学 材料与冶金学院, 沈阳 110004)

**摘要:** 熔制了 Al-Zn-Cu 系的 13 个不同成分的合金, 并进行了组织均匀化和平衡冷却至 200 °C 的缓冷处理。通过显微组织观察、X 射线衍射分析和电子探针微区成分分析, 测定了这 13 个合金的相组成及成分。结果表明, 在 200 °C 时, 富铝角  $\alpha$  相中的 Zn、Cu、Al 含量(摩尔分数)分别为 6.7%、2.0% 和 91.3%, 确定了  $T'$  相的成分范围以及  $\text{Al}_2\text{Cu}_3$  相中 Zn 的溶解度(摩尔分数)小于 4.4%, 绘制出了 Al-Zn-Cu 系 200 °C 低 Cu 侧的等温截面相图。

**关键词:** 相图; Al-Zn-Cu 三元系;  $T'$  相;  $\alpha$  相

中图分类号: TG 113.14

文献标识码: A

## Phase equilibrium of Al-Zn-Cu system on low copper side at 200 °C

CHEN Hui, XIN Xin, REN Yu-ping, HAO Shi-ming, LI Hong-xiao

(School of Materials and Metallurgy, Northeastern University, Shenyang 110004, China)

**Abstract:** The phase composition and constituent of 13 designed alloys in Al-Zn-Cu system were analyzed by optical microscope, X-ray diffraction and EPMA method. These samples were prepared through sufficient homogenization and equilibrium cooling heat treatment from 400 °C to 200 °C. The results show that the contents(in mole fraction) of Zn, Cu and Al of  $\alpha$  phase (rich aluminum phase) at 200 °C are 6.7%, 2.0% and 91.3% respectively. The composition range of  $T'$  phase was determined and the solubility(in mole fraction) of Zn in  $\text{Al}_2\text{Cu}_3$  is less than 4.4%. The isothermal section diagram of Al-Zn-Cu system on lower copper side at 200 °C was constructed.

**Key words:** phase diagram; Al-Zn-Cu system;  $T'$  phase;  $\alpha$  phase

Al-Zn-Cu 三元系是实用铝合金的一个十分重要的基础系统, 该系相图对于研究铝合金的自然时效和人工时效具有特殊参考价值<sup>[1, 2]</sup>。在 1941 和 1942 年 Kóster 等<sup>[3]</sup>对该系统进行了研究。1975 年三元化合物  $T'$  相( $\text{Al}_4\text{Cu}_3\text{Zn}$  相)的晶体结构被确定<sup>[4]</sup>,  $T'$  化合物与低 Cu 侧室温相关系<sup>[5]</sup>, 未连续析出组织<sup>[7-10]</sup>以及该系统中元素的扩散行为<sup>[11-13]</sup>也得到研究。但近来在研究 Al-Zn-Cu 三元系和组成该系的 3 个二元系时, 发现该系 200 °C 相图还存在明显的问题。图 1 所示是美国金属学会 1997 年光盘版三元合金相图集所推荐的 Al-Zn-Cu 系的 200 °C 等温截面<sup>[14]</sup>。在

这一实用性很强的三元系相图中, 低铜富铝角  $\alpha$  相的成分和低铜侧的相平衡均没有给出, 并且在此相图中, 若将  $\alpha + \beta + T'$  三相区中  $\alpha + T'$  及  $\beta + T'$  两相平衡边界线向 Al-Zn 侧延伸, 则可得出  $\alpha$  相的 Zn 含量(摩尔分数)为 20%,  $\beta$  相的 Al 含量也可达 20%, 这明显与 Al-Zn 二元系的相关关系相矛盾。另外处于化合物  $\text{AlCu}$  和  $\text{Al}_4\text{Cu}_9$  之间的  $\text{Al}_2\text{Cu}_3$  相中 Zn 的溶解度(摩尔分数)竟高达 13%, 也难于置信。这些问题的出现, 与当时使用的金属原料的纯度和实验技术的精度不无关系。

为澄清上述问题, 本文作者设计并熔制了多种

<sup>①</sup> 基金项目: 国家自然科学基金资助项目(50171019)

收稿日期: 2003-10-16; 修订日期: 2004-02-01

作者简介: 陈 辉(1963-), 男, 高级工程师, 博士研究生。

通讯作者: 陈 辉, 高级工程师; 电话: 024-83681685; E-mail: xiaohui6303@163.com

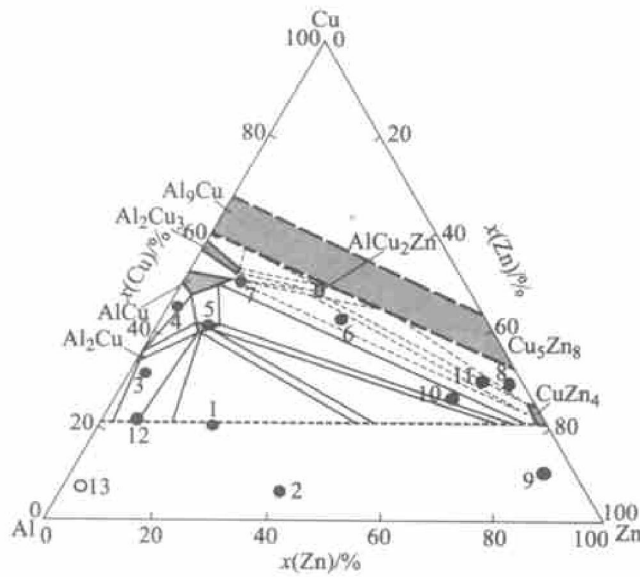


图 1 Al-Zn-Cu 合金 200 °C 等温截面

**Fig. 1** Isothermal section of  
Al-Zn-Cu system at 200 °C  
●—Composition points of 13 sample alloys

成分的 Al-Zn-Cu 合金, 制定了严格的平衡处理工艺, 以期获得 200 °C 时平衡态的显微组织, 进而获得更接近实际的 200 °C 等温截面相图。

## 1 实验

在 Al-Zn-Cu 系的  $\alpha$ 、 $\beta$ 、 $\epsilon$  和  $T'$  相 ( $\text{Al}_4\text{Cu}_3\text{Zn}$ ) 相区周围选取了 13 个合金成分, 如图 1 所示。配制合金时, 用精度为  $\pm 0.5\%$  的天平称量原料。每个合金锭质量为 50 g, 考虑到 Zn 蒸气压高, 易烧损, 在配料时每个合金多加 5% Zn 作为补偿。Al 的氧化性很强, 对部分含 Al 量低的合金也多加 5% 作为补偿。实验合金以高纯 Al(99.999%)、高纯 Zn(99.999%) 和高纯 Cu(99.999%) 为原料, 在 4 kW 外热式电阻炉中用高纯氧化铝坩埚熔化, 待成分均匀后将合金浇在钢板上, 通过快速冷却使锭内成分尽可能均匀。为保证合金的纯度, 合金在熔炼中未加除气剂, 个别试样组织中存在一定量的气孔。

合金切割成金相试样后在管式炉中加热到 400 °C, 保温 216 h 以便组织均匀并粗化, 然后进行平衡冷却处理。处理制度为: 400 °C 保温 120 h, 然后以每 24 h 降温 20 °C 的冷却速度, 缓冷至 200 °C, 在保温 120 h 后, 迅速打破石英管进行水淬。总计处理时间约为 700 h。

平衡处理后的合金经水砂纸研磨和 MgO 悬浮液抛光后。除 6、7 号合金用  $\text{FeCl}_3$  和 HCl 混合试剂

(5 g  $\text{FeCl}_3 + 50 \text{ mL HCl} + 100 \text{ mL H}_2\text{O}$ ) 腐刻外, 其它合金均用混合酸水溶液 (2 mL HF + 3 mL HCl + 5 mL  $\text{HNO}_3 + 250 \text{ mL H}_2\text{O}$ ) 腐刻。组织观察在 Versamet-2 光学显微镜下进行。合金的相成分分析是在 Camebax-micro 电子探针仪上进行的, 加速电压为 15 kV, 出射角 40°, 采用纯金属 Al、Cu、Zn 作为标样。电子探针合金样品表面抛光后, 只做轻度腐刻, 以刚能分清相界面为宜。物相分析是在 D/Max - Y 日本理学 X 射线衍射仪上进行的, 采用 Cu 靶  $K_\alpha$  线, 电压 40 kV, 电流为 40 mA, 利用 Ni 滤波片, 步进速度为 4 (°)/min。

## 2 结果及讨论

### 2.1 $T'$ 相的成分范围

$T'$  相是菱方结构, 虽然一般将其化学式写成  $\text{Al}_4\text{Cu}_3\text{Zn}$ , 但其成分有较大的溶解度范围, 而且此范围随温度而变化。1、2、5 和 9 号合金的  $T'$  相可在金相照片中直接观察其面貌。5 号合金是距离  $T'$  相  $\text{Al}_4\text{Cu}_3\text{Zn}$  成分最近的合金, 其组织如图 2(a) 所示。

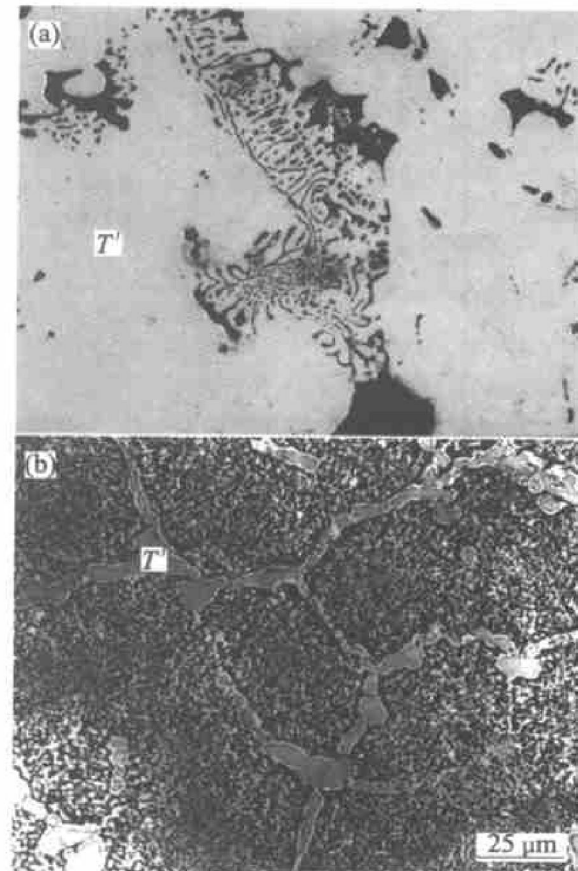


图 2 200 °C 平衡处理后的显微组织

**Fig. 2** Microstructures of alloy 5# and alloy 2#

after equilibrium treatment at 200 °C

(a) —Alloy 5#; (b) —Alloy 2#

电子探针分析结果表明, 组织中的白亮区为  $T'$  相, 约占合金体积分数的 60% 以上。该合金的 X 射线衍射分析结果如图 3(a) 所示。可以看出,  $T'$  相的特征衍射峰强度很高。其它可见的  $T'$  相多以条带状为主, 例如 2 号合金的组织如图 2(b) 所示, 该合金的 X 射线衍射分析结果如图 3(b) 所示。不仅上述合金中出现了  $T'$  相, 在 13 个合金中有 8 个合金均在 X 射线衍射谱中发现了  $T'$  相, 结果如表 1 所示。其中的 1、2、5 和 9 号合金中的  $T'$  相因为有足够的尺寸, 还用电子探针分析了其相成分, 结果如表 2 所示。由于这 4 组  $T'$  相成分为  $T' + \alpha + \beta$ 、 $T' + \text{AlCu} + \text{Al}_4\text{Cu}_9$  和  $T' + \text{CuZn}_4 + \beta$  等三相区的  $T'$  相成分, 所以这些成分构成了  $T'$  相的相区边界。由电子探针显微成分分析(EPMA)确定的  $T'$  相成分(摩尔分数)范围是: Al 51.0% ~ 59.0%, Zn 5.3% ~ 8.7%, Cu 34.6% ~ 40.3%。

研究结果表明, 1、2 号合金相组成的预测结果与实测结果相同, 它们同属于  $T' + \alpha + \beta$  三相区。而

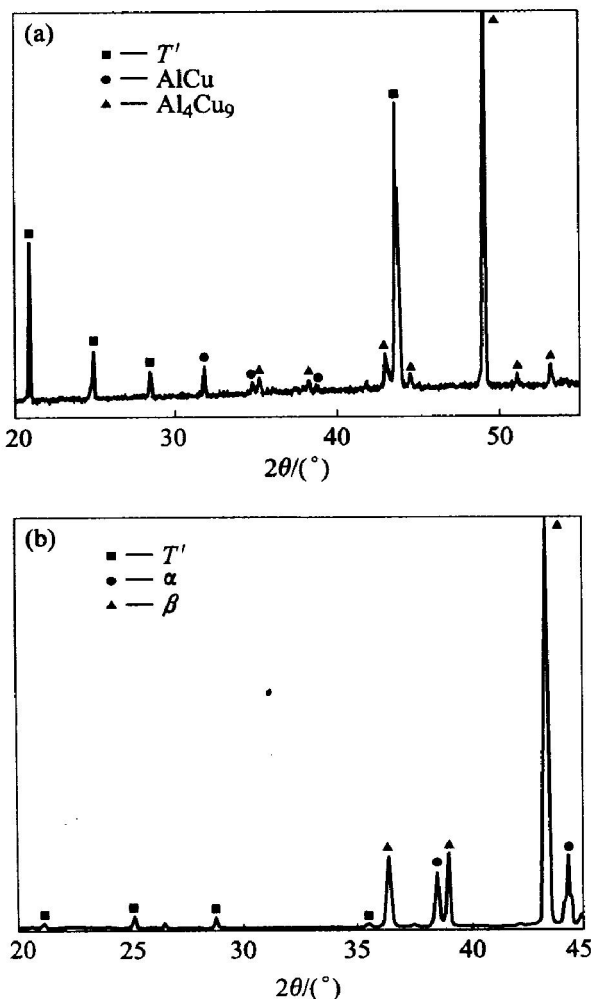


图 3 与  $T'$  相有关的合金 X 射线衍射谱

Fig. 3 XRD patterns of  $T'$  phases  
(a) —Alloy 5#; (b) —Alloy 2#

表 1 实验合金在 200 °C 下的相组成

Table 1 Phase compositions of alloys at 200 °C

Allay No.	Expected phase	Experimentally determined
1	$\alpha' + \alpha + \beta$	$T' + \alpha + \beta$
2	$T' + \alpha + \beta$	$T' + \alpha + \beta$
3	$T' + \alpha + \text{Al}_2\text{Cu}$	$T' + \alpha + \text{Al}_2\text{Cu}$
4	$T' + \text{AlCu} + \text{Al}_2\text{Cu}$	$\alpha + \text{Al}_2\text{Cu}$
5	$T'$	$T' + \text{AlCu} + \text{Al}_4\text{Cu}_9$
6	$\text{AlCu}_2\text{Zn} + \text{AlCu} + \varepsilon$	$\text{AlCu} + \text{Al}_4\text{Cu}_9$
7	$\varepsilon + \text{AlCu}$	$\text{AlCu} + \text{Al}_4\text{Cu}_9$
8	$\text{Cu}_5\text{Zn}_8 + (\text{Al}_4\text{Cu}_9 + \varepsilon)$	$T' + \varepsilon$
9	$T' + \varepsilon + \beta$	$T' + \varepsilon$
10	$T' + \varepsilon$	$T' + \varepsilon + \varepsilon$
11	$\text{Al}_4\text{Cu}_9 + \varepsilon$	$T' + \varepsilon + \beta$
12	$T' + \alpha + \text{Al}_2\text{Cu}$	$\alpha + \text{Al}_2\text{Cu}$
13	$T' + \alpha + \text{Al}_2\text{Cu}$	$\alpha + \text{Al}_2\text{Cu}$

而 4、5、6 和 8 号合金的含 Cu 量和含 Zn 量相对较高, 此两组元熔点差较大, Zn 的烧损多, 所以炼制的合金成分与预期成分产生偏离, 尤以 4 号合金最为明显。

## 2.2 $\text{Al}_2\text{Cu}_3$ 相中 Zn 的溶解度

6、7 号合金的实测结果是它们同属于两相区  $\text{AlCu} + \text{Al}_4\text{Cu}_9$ , 经过 EPMA 分析得到两相的共轭成分, 见表 3。因  $\text{Al}_2\text{Cu}_3$  相的成分位于  $\text{AlCu}$  和  $\text{Al}_4\text{Cu}_9$  之间, 由此两相共轭成分的连线可知  $\text{Al}_2\text{Cu}_3$  相的含 Zn 量应小于 4.4%。6 号合金的 X 射线衍射谱如图 4 所示。

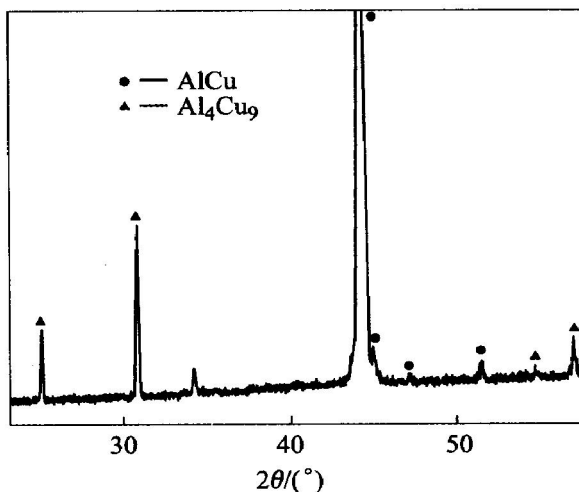


图 4 6 号合金的 X 射线衍射谱

Fig. 4 XRD pattern of alloy 6<sup>#</sup>

表2 在4个合金试样上由电子探针测得的T'相成分

**Table 2** Chemical compositions of  $T'$  phase in four alloys by EPMA (mole fraction, %)

Element	Alloy 1# ( $T' + \alpha + \beta$ )	Alloy 2# ( $T' + \alpha + \beta$ )	Alloy 5# ( $T' + \text{AlCu} + \text{Al}_4\text{Cu}_9$ )	Alloy 9# ( $T' + \varepsilon$ )
Cu	36.6	34.6	38.4	40.3
Zn	5.3	6.4	8.6	8.7
Al	58.1	59.0	53.0	51.0

表3 6号和7号合金共轭线组成

**Table 3** Ti- $\sigma$  lines for alloys 6# and 7# by EPMA (mole fraction, %)

Alloy No.	Equilibrium phase	Zn	Cu	Al
6#	$\text{Al}_4\text{Cu}_9$	2.4	58.1	39.5
	AlCu	2.2	51.0	46.8
7#	$\text{Al}_4\text{Cu}_9$	4.4	59.0	36.6
	AlCu	4.0	52.5	43.5

### 2.3 $\alpha$ 相和 $\beta$ 相成分的确定

$\alpha$ 相是溶入Cu, Zn原子形成的保持纯铝FCC结构的相,也称为富Al相。2、3、4号合金在显微镜下可清楚地观察到 $\alpha$ 相的存在。在2、3、4号合金中,由于组成相不同, $\alpha$ 相的化学性质产生差异,使 $\alpha$ 相在金相显微镜下显示不同的颜色。 $\alpha$ 相在2、3号合金中为白色,在4号合金中为黑色。4号合金的显微组织如图5所示,2号合金的金相显微组织如图2(b)所示。通过EPMA确定了 $\alpha$ 相的成分,结果见表4。这一结果与已知的Al-Zn二元系相图结果符合较好。

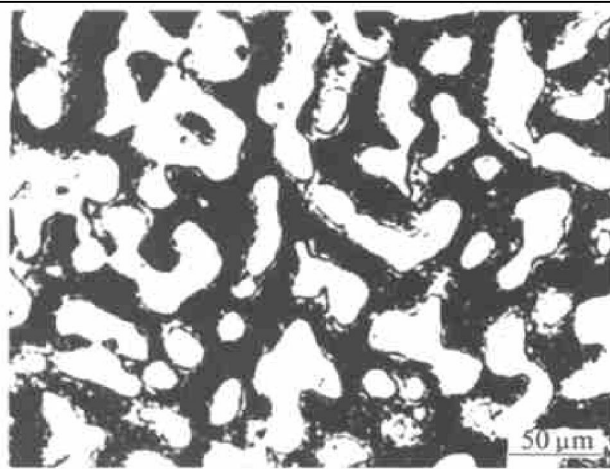


图5 4号合金的显微组织

**Fig. 5** Microstructure of alloy 4#

如表1所示,在13个合金中有4个合金的X射线衍射谱存在Zn基固溶体( $\beta$ 相)。 $\beta$ 相是溶入Cu和Al原子后形成的保持纯锌HCP结构的相,

表4 在3个合金试样上由电子探针测得的 $\alpha$ 相成分**Table 4** Compositions of  $\alpha$  phase in three alloys by EPMA (mole fraction, %)

Element	Alloy 2# ( $T' + \alpha + \beta$ )	Alloy 3# ( $T' + \alpha + \text{Al}_2\text{Cu}$ )	Alloy 4# ( $\alpha + \text{Al}_2\text{Cu}$ )
Cu	2.0	1.9	1.7
Zn	6.7	8.0	8.6
Al	91.3	90.1	89.7

也称为Zn相。在1、2、10和11号合金中出现的 $\beta$ 相,由于其分散度很高,数量少,EPMA分析没能找到干净的 $\beta$ 相。但将合金中 $\beta$ 相的X射线衍射谱与纯Zn的标准衍射谱对照时,可以看出其衍射角变化很小,由此可知200 °C时,Al和Cu在Zn中的溶解度极小,对相图结构几乎没有影响,这与Al-Zn二元系的结果相符。因此,本实验的结果中 $\beta$ 相的成分是引用二元系的结果。

### 2.4 Al-Zn-Cu系200 °C相图

根据上述研究结果所绘制的Al-Zn-Cu系200 °C相图的低铜侧部分如图6所示。图中白色圆点为

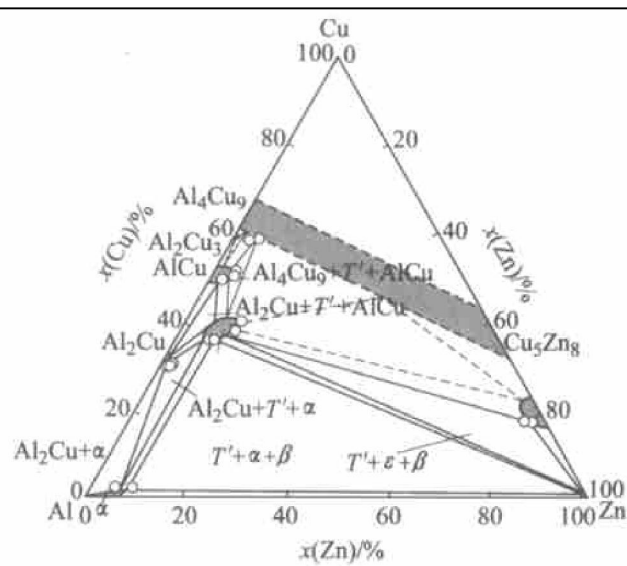


图6 Al-Zn-Cu系200 °C等温截面

**Fig. 6** Isothermal section of Al-Zn-Cu system at 200 °C  
○—Compositions of measured points

本研究的实测结果成分点,虚线部分为根据相律绘出的平衡相区,阴影部分为结构相同的化合物Cu<sub>5</sub>Zn<sub>8</sub>和Al<sub>4</sub>Cu<sub>9</sub>组成的线性化合物相区。

### 3 结论

1) 实验测定富铝相的Zn、Cu和Al含量范围分别为6.7%~8.6%,1.7%~2.0%和89.7%~91.3%,绘制了Al-Zn-Cu系200℃等温截面图。

2) 根据AlCu和Al<sub>4</sub>Cu<sub>9</sub>的两相平衡区共轭成分的连线可知,Al<sub>2</sub>Cu<sub>3</sub>相中Zn的溶解度很小,应在4.4%以下。

3) 由围绕T'相的不同相区的成分可确定其成分范围为:Al 51.0%~59.0%,Zn 5.3%~8.7%,Cu 34.6%~38.4%。

### REFERENCES

- [1] Murphy S. Solid-phase reaction in the low-copper part of the Al-Cu-Zn system[J]. Z Metallkunde, 1980, 71: 96~102.
- [2] Legendre B, Feutelais Y, San Juan J M, et al. Enthalpy of formation of the ternary T' phase in the Al-Cu-Zn system[J]. Journal of Alloys and Compounds, 2000, 308: 216~220.
- [3] Villars P, Prince A, Okamoto H. Handbook of Ternary Alloy Phase Diagrams[M/CD]. Metals Park: ASM International, The Materials Society, 1997.
- [4] Murphy S. The Structure of the T' phase in the system Al-Cu-Zn[J]. Metal Science, 1975, 9: 163~168.
- [5] 郝士明,郝新江,李艳霞,等. Al-Zn-Cu系中的T'化合物与低Cu侧室温相关系[J]. 金属学报, 2002, 38(7): 694~698.  
HAO Shiming, HAO Xinjiang, LI Yanxia, et al. The compound T' and the equilibrium phase relationship in low Cu side of Al-Zn-Cu system[J]. Acta Metallurgica Sinica, 2002, 38(7): 694~698.
- [6] REN Yiping, DING Hua, HAO Shiming. Abnormal refining of stepped annealing microstructure in an Al alloy containing low copper and high Zinc[J]. Journal of Materials Science Letters, 2003, 22: 433~436.
- [7] 任玉平,丁桦,郝士明,等. Al-Zn对称成分合金不连续析出组织的再结晶[J]. 中国有色金属学报, 2002, 12(4): 779~783.
- [8] 李洪晓,王大鹏,赵刚,等. 具有失稳分解转变的Al-Zn(Cu)系合金的固溶强化与析出强化[J]. 东北大学学报(自然科学版), 2002, 23(5): 447~450.  
LI Hongxiao, WANG Daoping, ZHAO Gang, et al. Solution strengthening and precipitation strengthening in spinodally decomposed Al-Zn(Cu) alloys[J]. Journal of Northeastern University(Natural Science), 2002, 23(5): 447~450.
- [9] 王大鹏,郝士明,李洪晓,等. Al-Zn对称成分失稳分解合金的组织、结构与相成分,中国有色金属学报,2001, 11(S2): 95~98.  
WANG Daoping, HAO Shiming, LI Hongxiao, et al. Microstructure, structure and phase composition of spinodal Al-Zn alloy with symmetrical composition[J]. The Chinese Journal of Nonferrous Metals, 2001, 11(S2): 95~98.
- [10] 李洪晓,赵刚,郝士明. 失稳分解法制备双相纳米晶合金[J]. 中国有色金属学报, 1998, 8(S2): 45~48.  
LI Hongxiao, ZHAO Gang, Hao Shiming. Manufacture of two phase nanostructured alloy by spinodal decomposition [J]. The Chinese Journal of Nonferrous Metals, 1998, 8(S2): 45~48.
- [11] Gödény I, Beke D, Kedves F J, et al. Diffusion of Zn in Al-Zn solid solutions[J]. Phys Stat Sol, 1975, 32: 195.
- [12] Beke D, Gödény I, Kedves F J. Diffusion of Zn in dilute AlZn, AlMg, AlZnMg and AlZnFe alloys[J]. Acta Metallurgica, 1977, 25: 539~550.
- [13] Minamino Y, Yamane T, Tokuda K. Interdiffusion in Al-Zn measured by the electric resistance[J]. Z Metall, 1980, 71: 90~95.
- [14] Arndt H H, Moeller K. The ternary phase diagram in Al-Zn-Cu system at 200 and 300 ℃[J]. Z Metall, 1960, 51: 596~600.
- [15] Massalski T B. Binary Alloy Phase Diagrams[M/CD]. The 2nd Edition. Metals Park: ASM International, The Materials Information Society, 1996.

(编辑 何学锋)